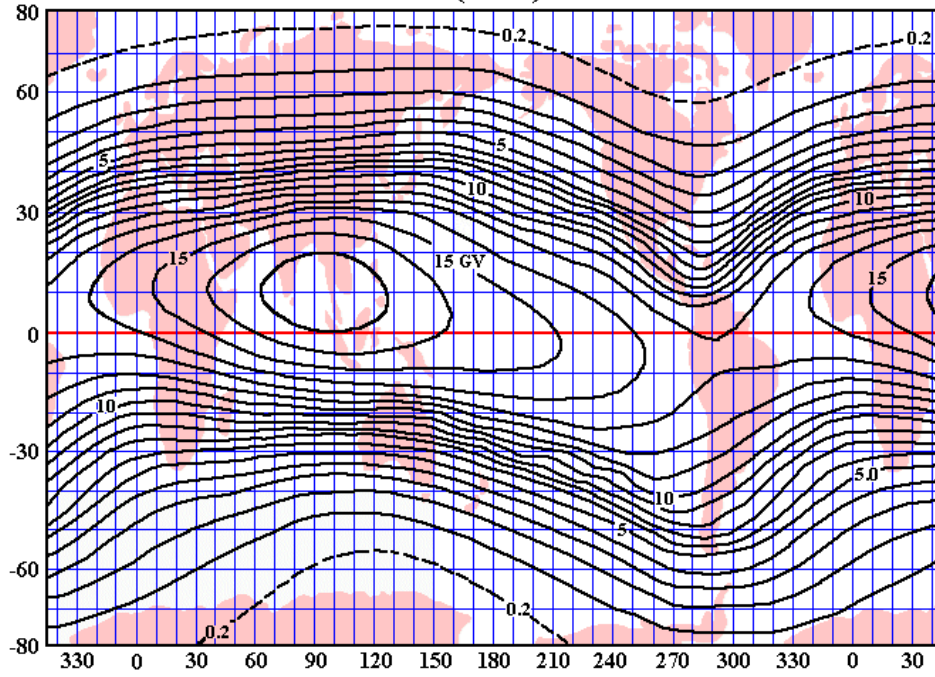


下限磁気剛度 Cut-off rigidity

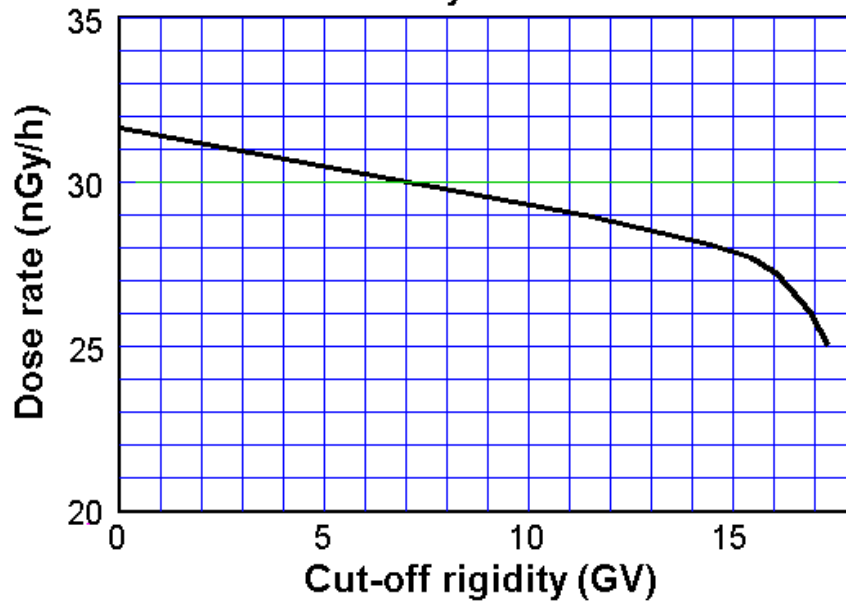
Vertical Cut-Off Rigidity (GV) (1975)



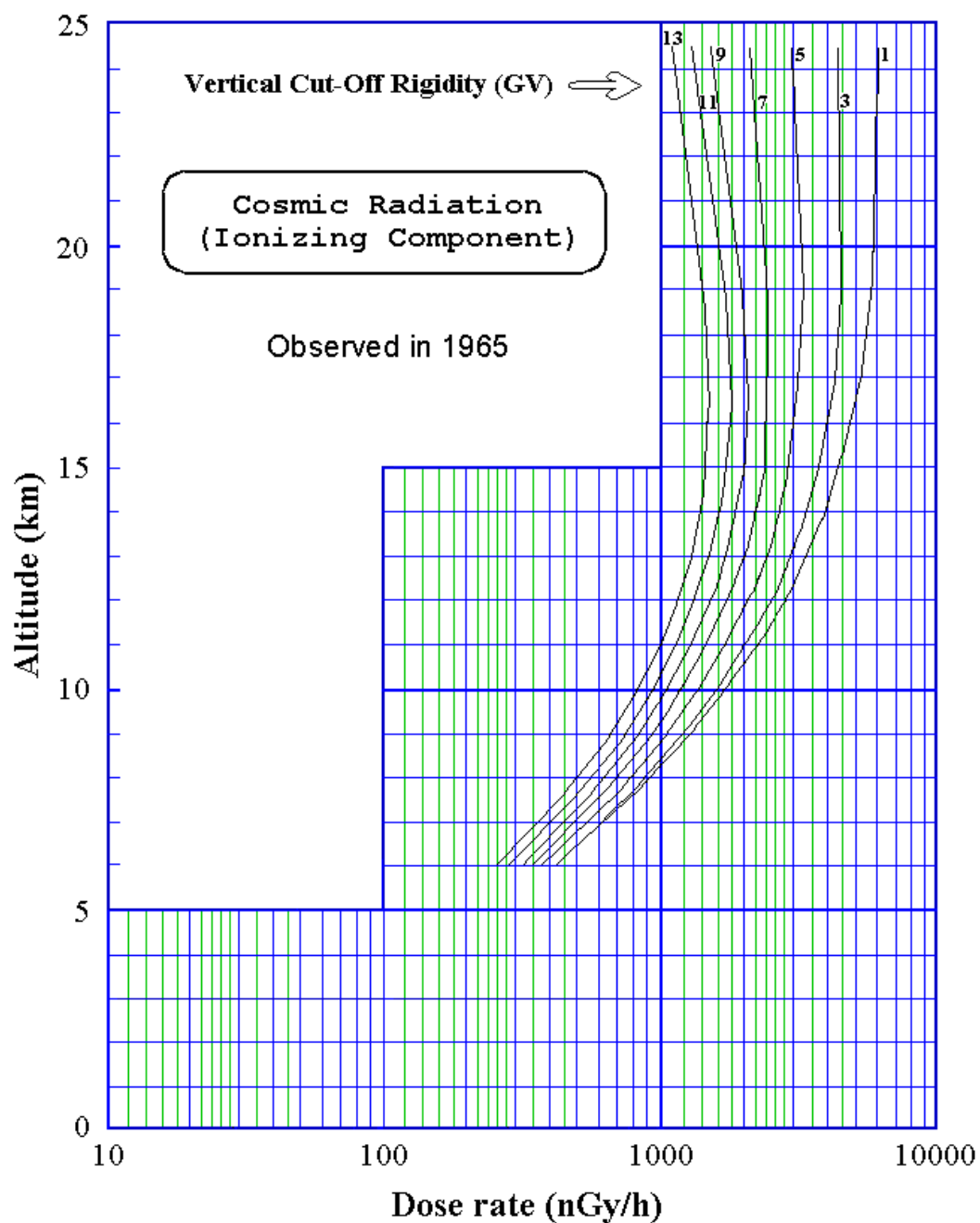
和田雅美 (1986)「太陽地球系物理学における宇宙線の役割」、理化学研究所報告、62:1-27

海面高度での宇宙線 Cosmic rays at sea level

Cosmic-rays at sea level

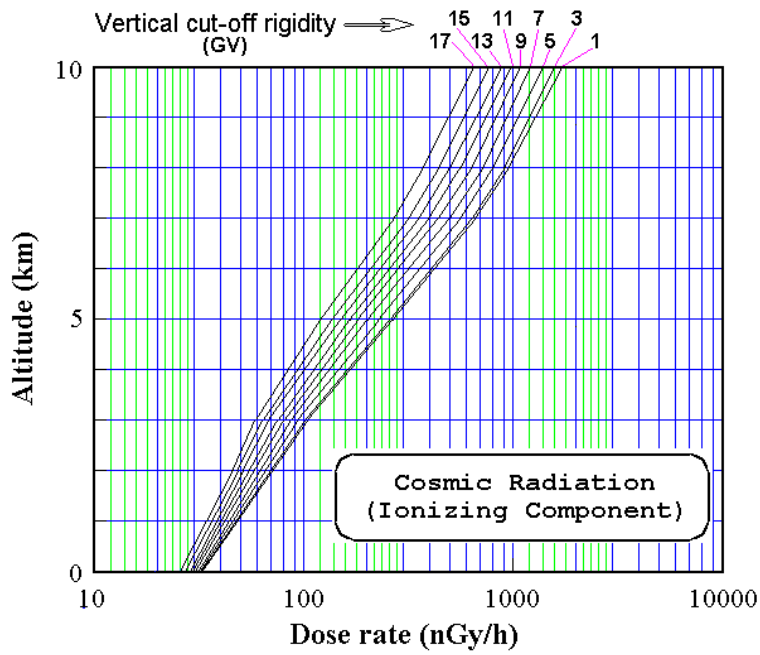


宇宙線の上空分布 Altitude distribution of cosmic rays

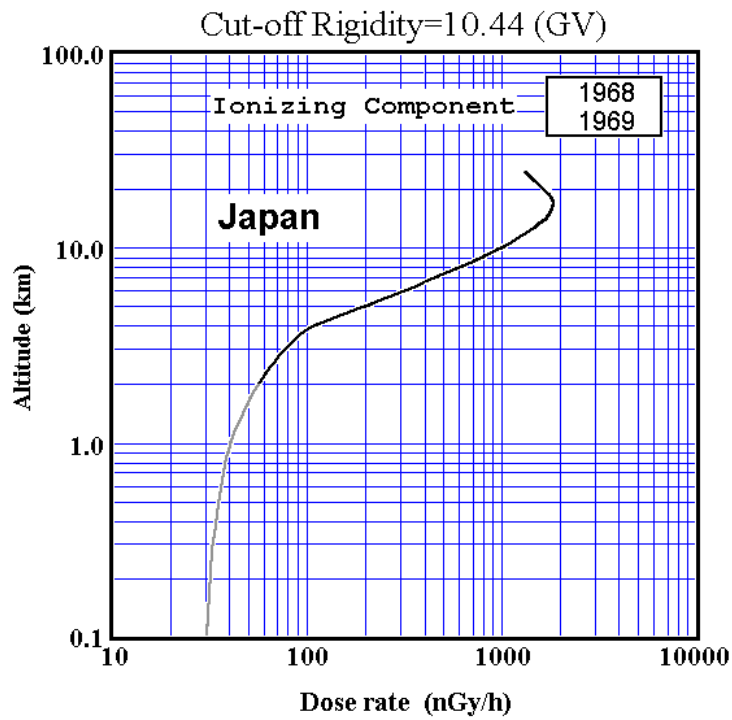


Deduced from
Neher, H.V. (1967) Cosmic-ray particles that changed from 1954 to 1958 to 1965,
J. Geophys. Res., **72**, 1527-1539

宇宙線の高度分布 Height distribution of cosmic rays

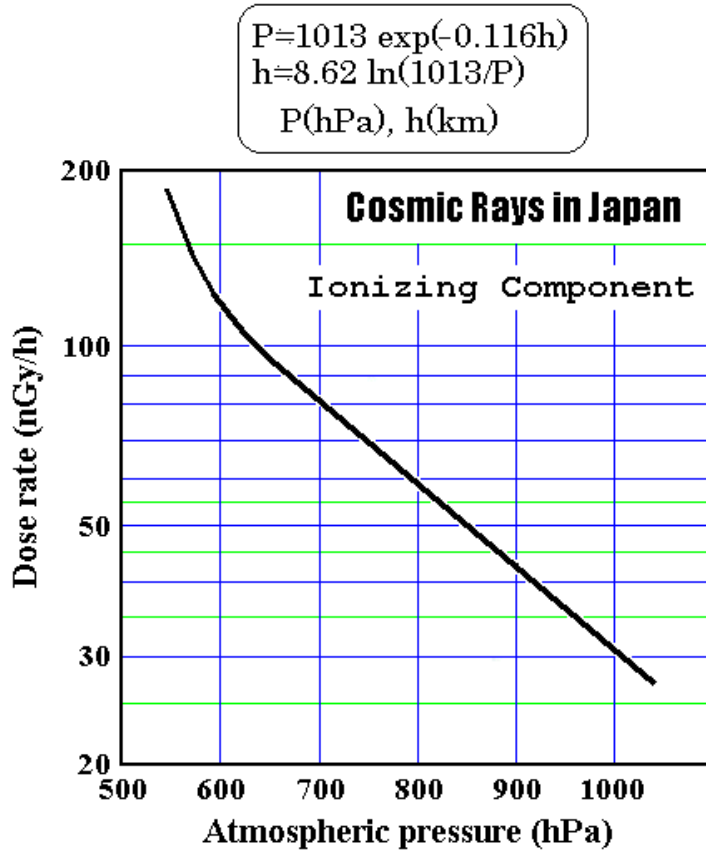


日本の上空における宇宙線 Altitude distribution of cosmic rays in Japan



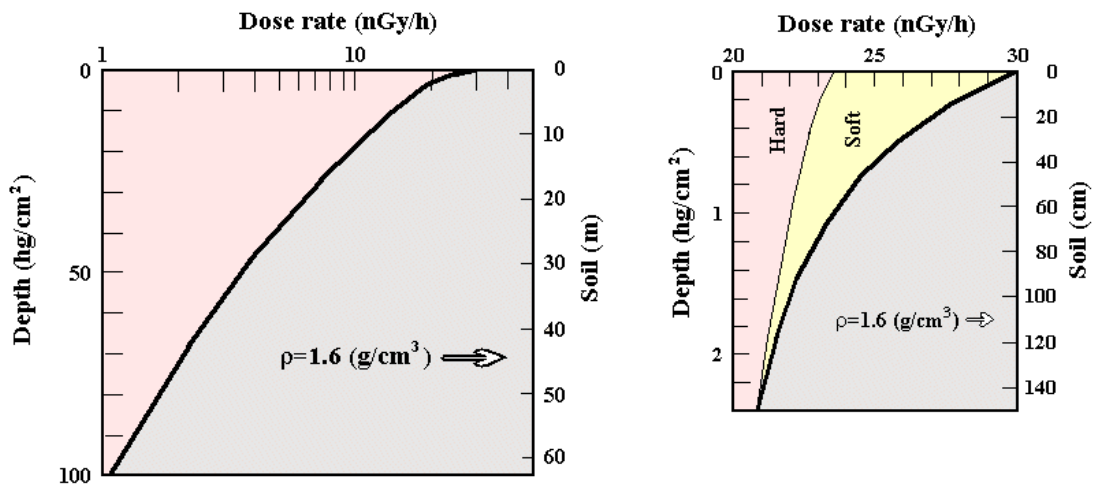
川野 実・鈴木茂彦・中島敬行・飯田孝夫・池辺幸正(1970)大気球による
上層大気の電離測定、東京大学宇宙航空研究所報告、6、297-304

日本の宇宙線高度分布 Height distribution of cosmic rays in Japan

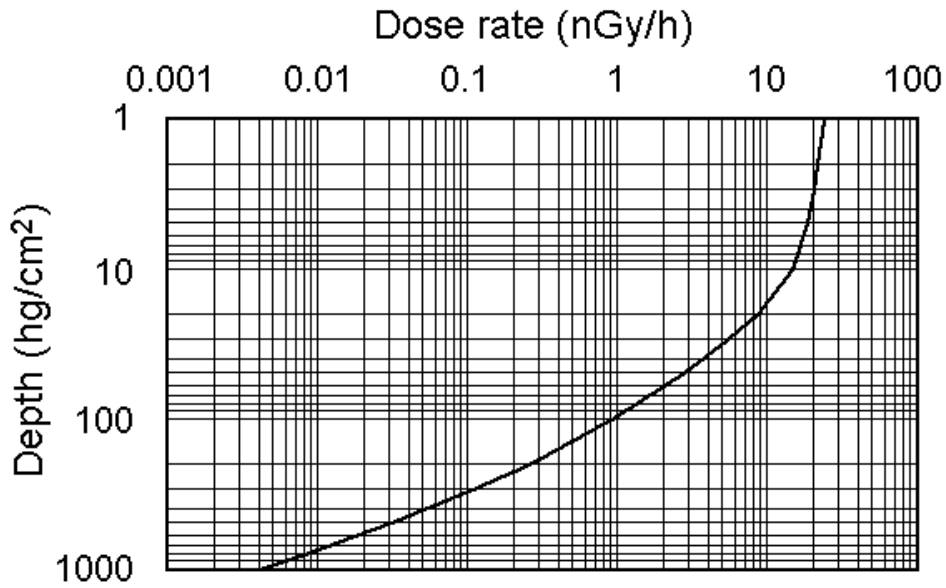


日本の宇宙線深度分布 1 Depth distribution of cosmic rays in Japan 1

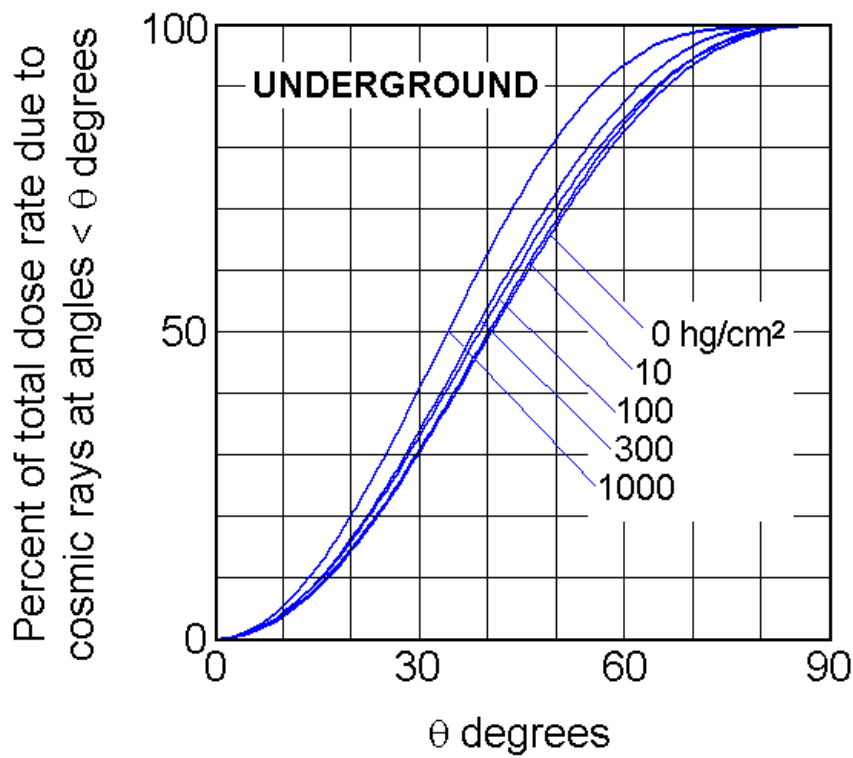
Cosmic Rays in Japan



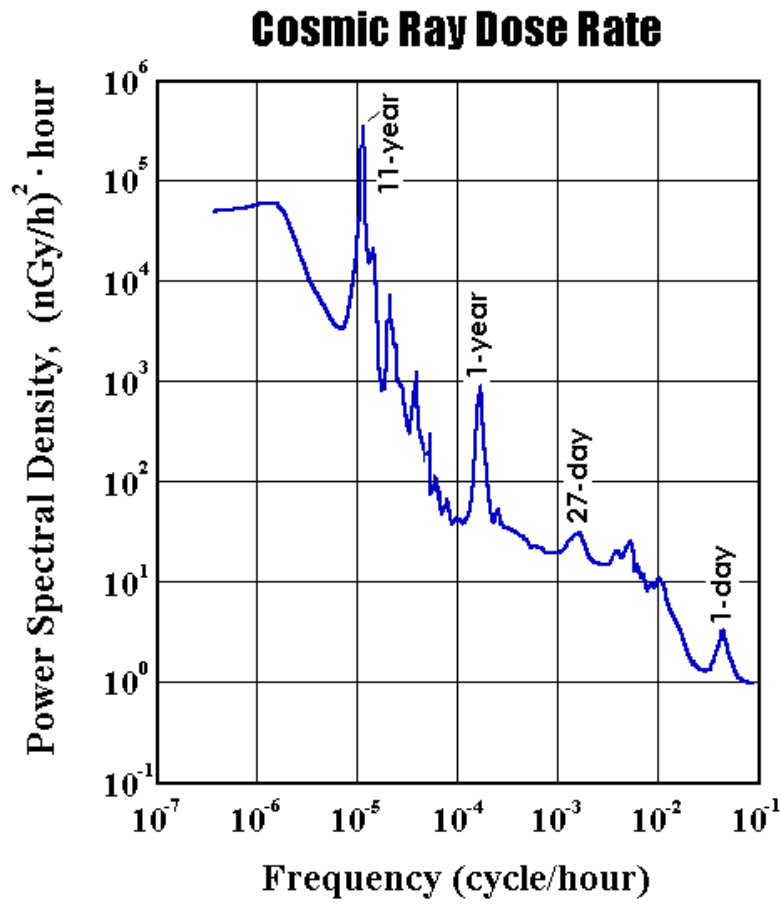
Cosmic Rays in Japan



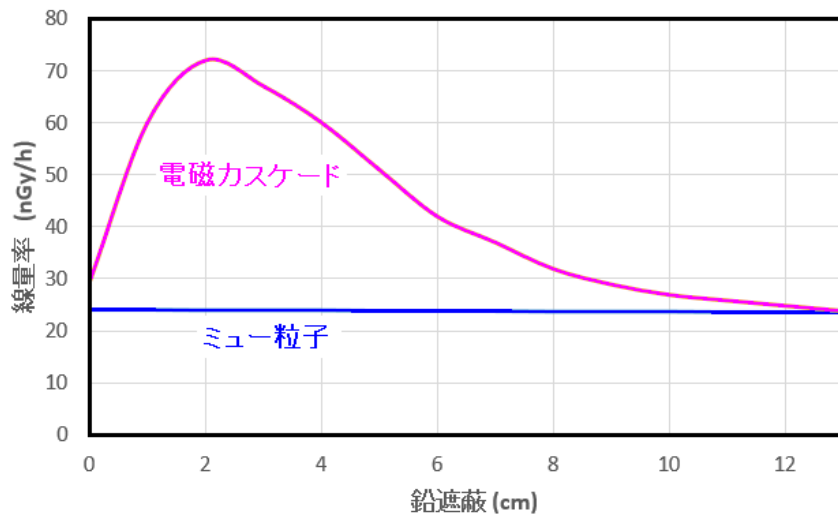
地下における宇宙線の角度分布 Angular distribution of cosmic rays underground



宇宙線のパワースペクトル Power spectrum of cosmic rays



鉛遮蔽の厚さによる変化 Variation with thickness of lead shield



湊 進、高森和英、池辺幸正 (1983) 3φ 球型シンチレーション・カウンタ
 による屋内宇宙線線量測定法、名古屋工業技術試験所報告、32: 14-25 より再計算

宇宙線の長期変動 Long-term variation of cosmic rays

